

СИБИРСКОЕ ОТДЕЛЕНИЕ АН СССР
ИНСТИТУТ ЯДЕРНОЙ ФИЗИКИ

40

С.Г.Попов, Д.К.Топорков

**ВОЗМОЖНОСТЬ ПОЛУЧЕНИЯ
ПЛОТНОГО АТОМНОГО ПУЧКА
ПОЛЯРИЗОВАННОГО ВОДОРОДА**

ПРЕПРИНТ 80-129



Новосибирск

ВОЗМОЖНОСТЬ ПОЛУЧЕНИЯ ПЛОТНОГО
АТОМНОГО ПУЧКА ПОЛЯРИЗОВАННОГО ВОДОРОДА

С.Г.Попов, Д.К.Топорков

А Н Н О Т А Ц И Я

В работе описан источник поляризованных частиц (водорода или дейтерия) с толщиной струйной мишени $5 \cdot 10^{10}$ ат/см² на расстоянии 40 см от края шести - полюсного магнита. Приведен расчет толщины мишени при использовании магнитов с большим числом полюсов. Обсуждаются другие возможности повышения плотности атомов в струе.

В последние годы очень сильно возрос интерес к экспериментам с поляризованными частицами. Это инициировало новую серию работ по получению интенсивных пучков поляризованных ионов (для их последующего ускорения) и по получению поляризованных мишеней. Важное место в этих работах занимают исследования по получению источников поляризованных частиц методом атомного пучка /1/, в основе которого лежит классический опыт Штерна и Герлаха /2/. Именно таким способом в настоящее время получены максимальные интенсивности поляризованных ионных пучков /3/.

Наш интерес к этому методу связан еще и с тем, что в Институте разработан метод постановки экспериментов со сверхтонкой внутренней мишенью в накопителях заряженных частиц /4/. В отличие от традиционной постановки поляризационных экспериментов с выпущенным из ускорителя пучком, где требуется достаточно толстая поляризованная мишень (как правило это твердые криогенные мишени с большой долей примесей) этому методу адекватна мишень в виде газовой струи /5/.

Целью работы является повышение интенсивности и/или/ плотности пучка поляризованного водорода или дейтерия, полученные методом атомного пучка. Схема установки для получения поляризованных частиц приведена на рис.1. Основные её элементы:

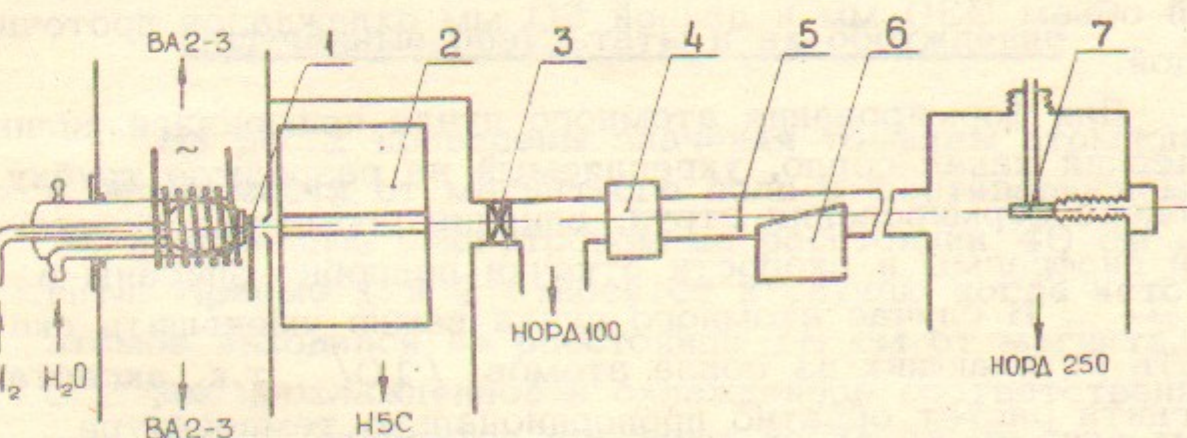


Рис.1. Схема экспериментальной установки.

1 - сопло, охлаждаемое жидким азотом, 2 - шестиполосный

магнит, 3 - клапан, 4 - омегатрон, 5 - узкая щель, 6 - отклоняющий магнит типа Раби, 7 - подвижный канал измерительной лампы.

диссоциатор, формирователь струи с системой откачки и шестиполюсный магнит. Для измерения параметров струи применялись, показанные на рисунке, омегатронный масс-спектрометр и манометрическая лампа с каналом для пучка.

В современных источниках поляризованных частиц для получения атомарного пучка, как правило, используется высокочастотный 20 ± 50 Мгц разряд / 6/. Подобные источники обеспечивают степень диссоциации в пучке 50% при давлении в разрядной трубке 1 Tor . В / 7/ указывается, что переход в СВЧ диапазон должен обеспечить более высокую степень диссоциации при более высоких давлениях. В работе / 8/ применен СВЧ разряд с частотой 2.45 Гц, мощность генератора 400 Вт. Разряд горит устойчиво до давления 5 Tor , ожидаемая степень диссоциации 80%.

В нашей установке использовался ВЧ генератор с частотой 20 Мгц, мощностью до 5 кВт. Разрядная трубка диссоциатора, выполненная из кварцевого стекла, была внесена в вакуумный объем с целью увеличения откачки из области между соплом и диафрагмой (см.рис.1.). Разрядный объем $\varnothing 30$ мм и длиной 50 мм охлаждался проточной водой.

Для формирования атомного пучка применялся цилиндрический канал-сопло, укрепляемый на разрядную трубку. Процесс формирования струи, влияние геометрии отсекающей диафрагмы и скорости откачки подробно описаны в / 9/.

В случае атомного пучка важно уменьшить скорость истекающих из сопла атомов / 10/, т.к. акцептанс магнита растет обратно пропорционально температуре и выигрыш в плотности при данном расходе газа через сопло $\sim T^{-\frac{3}{2}}$.

В работе исследовались: неохлаждаемое сопло-канал длиной 2 мм, диаметром 2 мм выполненный в диске из

кварцевого стекла и охлаждаемые жидким азотом сопла-каналы длиной 5 мм, $\varnothing 2$ мм и длиной 2 мм, $\varnothing 1$ мм выполненные в медном диске. Истекающий из сопла газ откачивался с помощью двух вакуумных агрегатов ВА2-3. Скорость откачки из области сопла $2 \cdot 10^3 \text{ л/сек}$ по водороду и остается постоянной до расхода $1,5 \text{ л/сек}$. Шестиполюсный магнит имел длину 15 см и постоянную апертуру равную 8 мм. Величина магнитного поля измерялась с помощью миниатюрного датчика Холла. Максимальное значение поля вблизи полюса 7 кГс. Вакуумный объем, в котором расположен магнит, откачивался насосом Н5С с азотной ловушкой.

Для измерения плотности атомного пучка использовался омегатрон РМО-1, расположенный на расстоянии 40 см от края магнита. В пластинах датчика были сделаны отверстия для атомного пучка, а сам датчик смонтирован внутри корпуса из нержавеющей стали. За омегатроном расположен отклоняющий магнит типа Раби / 11/. По отклонению пучка в магните можно определить скорость атомов. Для измерения интенсивности пучка использовался манометрический датчик ММ-14, соединенный сильфонами с подвижным блоком, имеющим канал для пучка.

Полученные результаты и их обсуждение

На рис.2 приведены значения толщины атомного пучка в зависимости от магнитного поля в шестиполюсном магните, измеренные омегатроном на расстоянии 40 см от магнита. Кривые 1 и 2 относятся к случаю когда источник атомов находился на расстоянии 18 см от магнита, сопло $\varnothing 2$ мм неохлажденное и охлажденное соответственно. Кривые 3 и 4 относятся к случаю когда расстояние между соплом и магнитом равно 3 см, сопла охлажденные $\varnothing 2$ мм и 1 мм соответственно. Расход водорода для сопел $\varnothing 2$ мм равен $0,55 \text{ л/сек}$, для сопла $\varnothing 1 \text{ mm}$ $0,3 \text{ л/сек}$. Отличительной чертой кривых 2,4 является сильное уменьшение плотности с дальнейшим ростом магнитного поля, т.е.

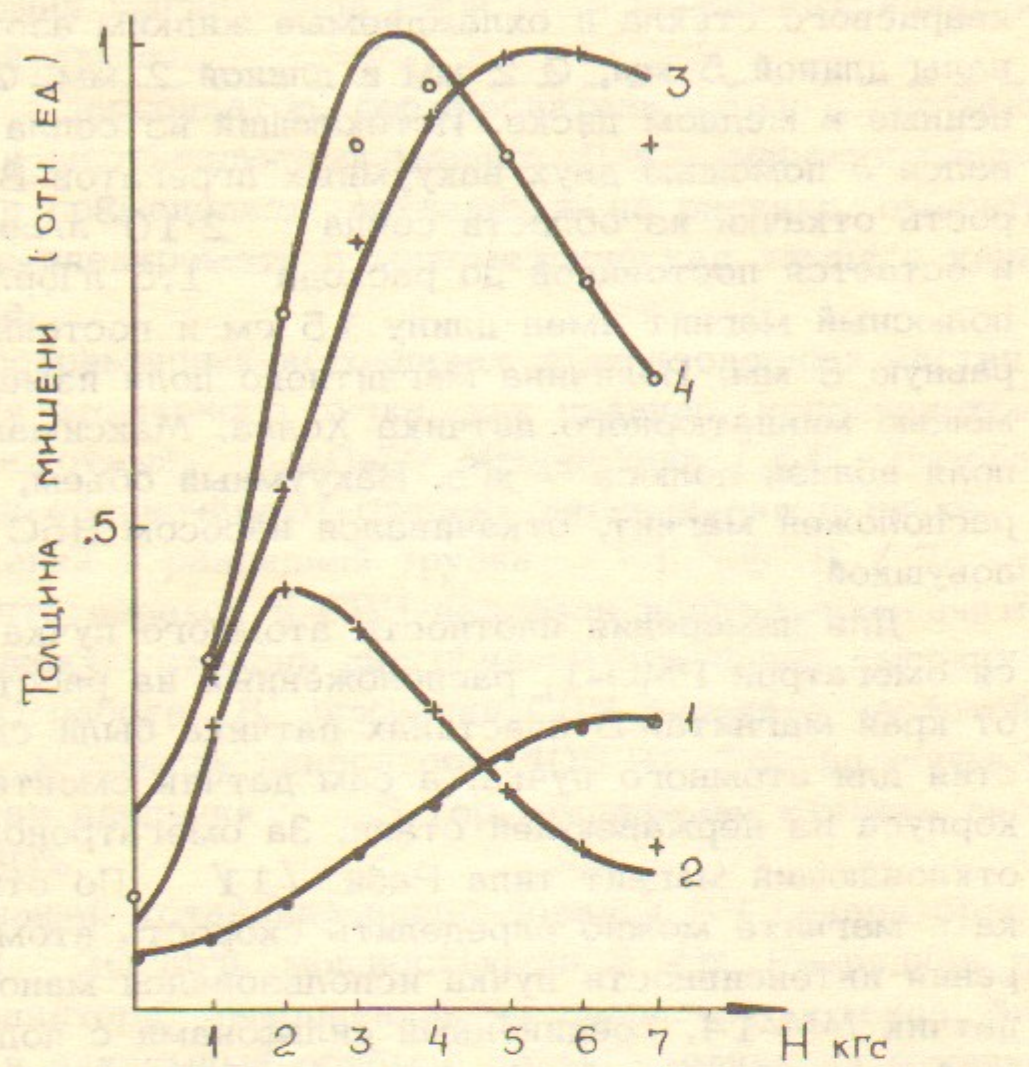


Рис.2. Толщина атомного пучка ($\text{ат}/\text{см}^2$) в зависимости от магнитного поля на расстоянии 40 см от магнита.
Линии - показания омегатрона, ●, +, ○ - расчетные значения с распределением по скоростям из таблицы 1.

с увеличением аксептенса магнита. В случае короткого магнита, такое поведение плотности объясняется тем, что основной вклад в плотность пучка дают атомы, фокусирующиеся на ось магнита (см.рис.3), т.е. атомы с данной скоростью при заданном магнитном поле и плотность пучка есть трансформированное магнитом распределение по скоростям. Из сравнения поведения расчетной плотности от магнитного поля и измеренной выбиралось распределение по скоростям вида $d\eta \sim \Omega_s^3 \exp(-m(\Omega - \Omega_s)^2/kT) d\Omega$.

Для использованных сопел константы распределения Ω_s , T , а также наиболее вероятная скорость вычислена по распределению и измеренная по отклонению пучка в магните Раби приведены в таблице

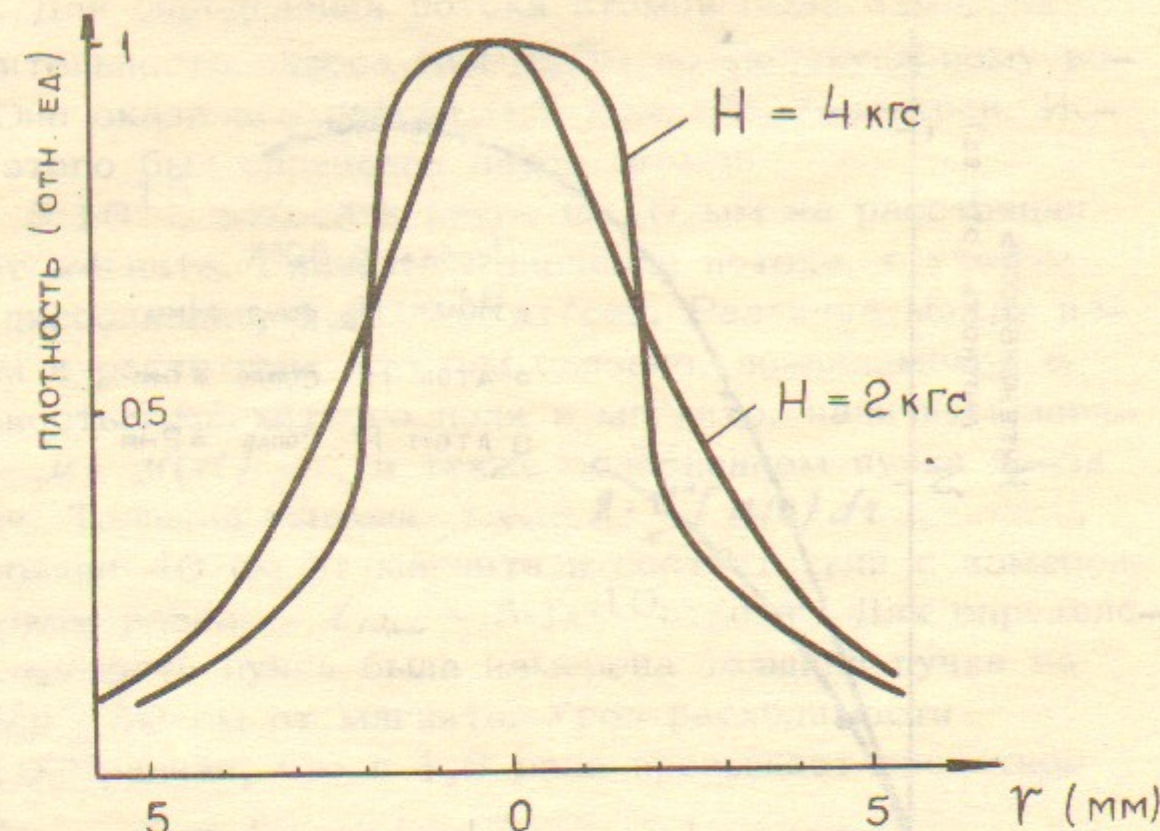


Рис.3. Расчетное распределение плотности в сфокусированном атомном пучке на расстоянии 40 см от магнита.

	$T K^\circ$	$\Omega_s \cdot 10^{-5} \text{ см/сек}$	$\Omega_{\text{н.в.}} \cdot 10^{-5} \text{ см/сек}$	$\Omega_{\text{изм}} \cdot 10^{-5} \text{ см/сек}$
1 неохлажденное сопло $\varnothing 2 \text{ мм}$	180	2,6	3,3	3,4
2 Охлажденное сопло $\varnothing 2 \text{ мм}$	100	1,25	1,9	2
3 Охлажденное сопло $\varnothing 1 \text{ мм}$	85	1	1,6	

На рис.4 приведены значения плотности атомного пучка в зависимости от расхода водорода через сопло, а также интенсивность охлажденного молекулярного пучка, измеренная лампой.

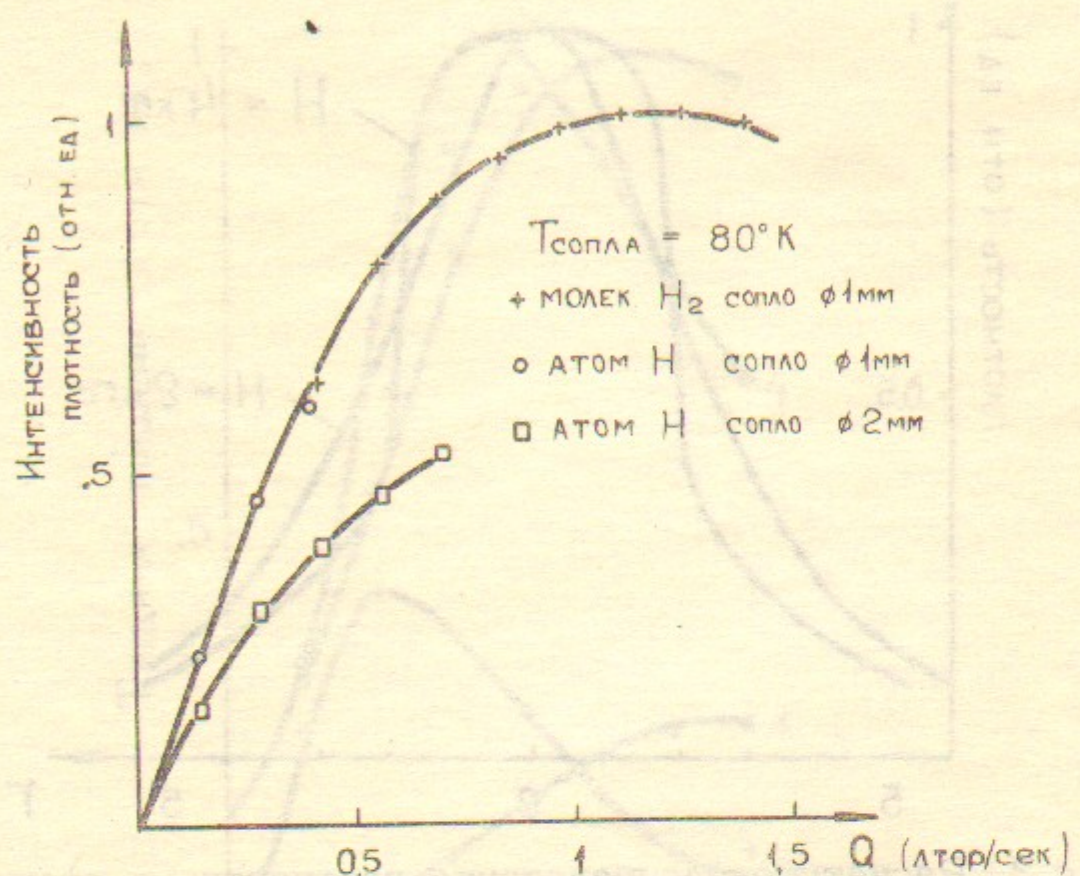


Рис.4. Интенсивность молекулярного и плотность сфокусированного атомного пучка в зависимости от расхода водорода через сопло.

При данном расходе газа, плотность, полученная с соплом $\varnothing 1$ мм в 1,5 раза выше плотности, полученной с соплом $\varnothing 2$ мм в соответствии с расчетом (1.65). Видно, что плотность атомного пучка пропорциональна интенсивности молекулярного пучка, что говорит о постоянстве степени диссоциации до расхода $0,4$ лТор/сек (давление ~ 2 Тор). При большем давлении степень диссоциации резко падает. Степень диссоциации определялась следующим образом. При выключенном шестиполюсном магните регистрировался ток омегатрона, настроенного на регистрацию и ток насоса НОРД250. Затем включался магнит и измерения проводились еще раз. Предполагалось, что два атома водорода дают тот же ток в насосе как молекула. Степень диссоциации определялась по формуле $K = 100\% \cdot (I_{H250}^+ / I_{H250}^- - 1) / (I_{\text{омег}}^+ / I_{\text{омег}}^- - 1)$. Измененная таким образом степень диссоциации оказалась рав-

ной 60%. Для определения потока атомов была измерена производительность насоса НОРД250 по молекулярному водороду. Она оказалась равной 0,7 мол. H_2 /электрон. Исходя из этого был определен поток атомов

$Q = 5 \cdot 10^{15}$ ат/сек в круге $\varnothing 10$ мм на расстоянии 30 см от магнита. Расчетное значение потока, с учетом степени диссоциации, $1,1 \cdot 10^{16}$ ат/сек. Различие между измеренным и расчетным потоком связано, по-видимому, с неидеальностью магнитного поля в магните, наличием зависимости $\mu = \mu(H)$, а также ослаблением пучка из-за рассеяния. Толщина мишени, т.е. $2 \cdot \int n(r) dr$, на расстоянии 40 см от магнита в соответствии с измеренным потоком равна $t_{10\text{mm}} = 5 \cdot 10^{10}$ ат/см². Для определения расходимости пучка была измерена толщина пучка на расстоянии 250 см от магнита. Угол расходимости $\alpha \sim 8 \cdot 10^{-3}$ радиан, что в 1,6 раза превышает расчетное значение

Поведение интенсивности молекулярного пучка (см. рис.4) до расхода ~ 1 лТор/сек, хорошо объясняется рассеянием на остаточном газе в установке, что проверялось на ском водороде в камеру шестиполюсного магнита. При расходе 1,4 лТор/сек дополнительное ($\sim 20\%$) ослабление связано, по-видимому, с рассеянием на молекулах, отраженных от диафрагмы и рассеянием молекул пучка друг на друге / 12 /. Ослабление атомного пучка при расходе 0,4 лТор/сек составляет 15%.

Выводы

В описанном источнике поляризованных атомов получена струя атомов толщиной $5 \cdot 10^{10}$ ат/см² на расстоянии 40 см от шестиполюсного магнита. Показано, что атомы, вытекающие из разряда, можно эффективно охлаждать, применяя медное сопло. Приведенные расчеты хорошо описывают зависимость плотности от магнитного поля в магните и удовлетворительно величину плотности.

Дальнейшее повышение плотности атомного пучка воз-

можно за счет оптимизации параметров основных элементов источника. Для шестиполюсного магнита с постоянной апертурой и точечного источника атомов со скоростью σ , находящегося на оси магнита максимальный телесный угол захвата атомов $\Omega_{const} = \pi \cdot 2 \cdot \mu \cdot H / m \sigma^2$

μ — магнитный момент атома, m — его масса,
 H — магнитное поле близи полюса. В магните с опти-
мально изменяющейся апертурой, когда траектория атома, вхо-
дящего в магнит под максимально допустимым углом и край полюса совпадают и этот "крайний" атом все время движется в области максимального градиента поля, дости-
гается больший телесный угол [13]. Использование больших телесных углов в этом случае затруднено из-за экспоненциального роста длины магнита от телесного угла.

Так в случае точечного источника атомов со скоростью

$\sigma = 1,6 \cdot 10^5$ см/сек отстоящего на расстоянии 3 см от "оптимального" шестиполюсного магнита с полем в

10 кГс при длине магнита 30 см достигается $\Omega = 2,7 \cdot \Omega_{const}$. Для $\Omega = 4 \cdot \Omega_{const}$ длина магни-
та около метра. В магните имеющим большее число полю-
сов сила, действующая на атом вблизи полюса больше,
поэтому вероятно, что плотность, полученная с таким маг-
нитом будет выше. Мы провели расчеты (см.приложение)
для "оптимальных" магнитов длиной 30 см, с полем
10 кГс имеющих различное число полюсов. Источником
атомов с распределением по скоростям 3 из таблицы, яв-
ляется сопло $\varnothing 1$ мм, отстоящее от магнита на расстоя-
нии 3 см, Значение толщины мишени $t_{2.8\text{ ми}} =$

$2 \cdot \int_0^\infty n(r) dr$ полученные на расстоянии 30 см за магнитом приведены на рис.5. Как видно 12 полюсный магнит обеспечивает максимальную толщину. Это связано с широким распределением по скоростям в атомном пучке. В шестиполюсном магните основной вклад в плотность дают атомы, имеющие скорости в небольшом интервале, которые фокусируются к оси. В 12 полюсном магните су-
щественный вклад в плотность дают атомы со скоростя-
ми в более широком интервале и положение этого интер-

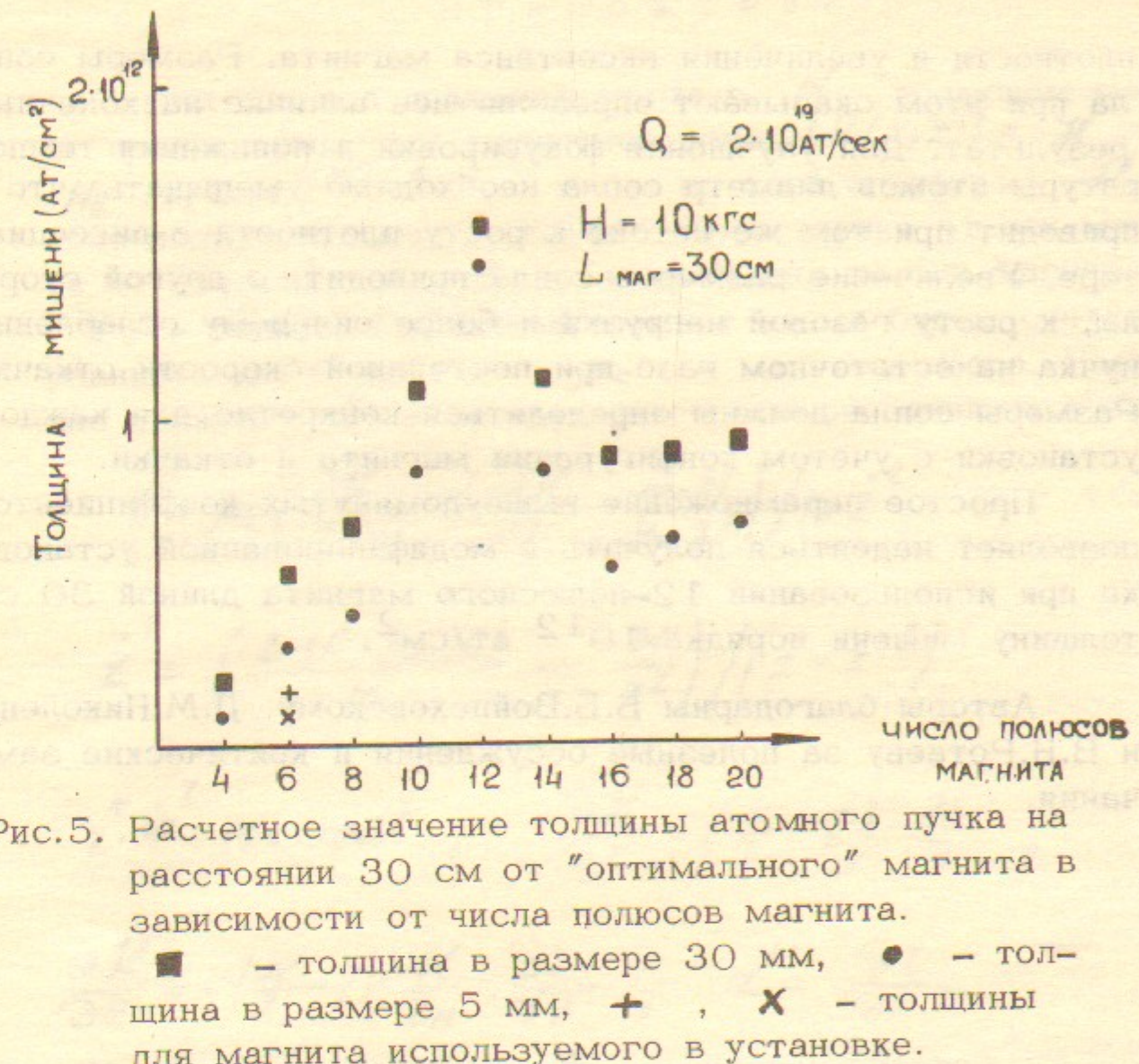


Рис.5. Расчетное значение толщины атомного пучка на расстоянии 30 см от "оптимального" магнита в зависимости от числа полюсов магнита.

■ — толщина в размере 30 мм, ● — тол-
щина в размере 5 мм, +, X — толщины
для магнита используемого в установке.

вала сдвинуто в сторону меньших скоростей относительно наиболее вероятной скорости. Таким образом, применение "оптимального" 12 полюсного магнита должно привести к увеличению плотности в 5-10 раз.

Для получения возможно большего потока поляризован-
ных частиц нужно иметь в диссоциаторе максимально воз-
можное произведение давления газа на процент диссииации.
Применение СВЧ разряда, по-видимому, позволит поддержи-
вать более высокое давление в диссоциаторе, что приведет
к увеличению интенсивности атомного пучка примерно в
два раза.

Система формирования струи должна создавать возмож-
но больший поток частиц в телесный угол магнита при воз-
можно меньших скоростях, для обеспечения максимальной

Приложение

плотности и увеличения акцептанса магнита. Размеры сопла при этом оказывают определяющее влияние на конечный результат. Для улучшения фокусировки и понижения температуры атомов диаметр сопла необходимо уменьшать, что приводит при том же потоке к росту плотности в диссоциаторе. Увеличение размеров сопла приводит, с другой стороны, к росту газовой нагрузки и более сильному ослаблению пучка на остаточном газе при постоянной скорости откачки. Размеры сопла должны определяться конкретно для каждой установки с учетом конфигурации магнита и откачки.

Простое перемножение вышеупомянутых коэффициентов позволяет надеяться получить в модифицированной установке при использовании 12-полюсного магнита длиной 30 см толщину мишени порядка 10^{12} ат/см².

Авторы благодарны Б.Б.Войцеховскому, Д.М.Николенко и В.Н.Ротаеву за полезные обсуждения и критические замечания.

Для анализа движения атома в \sqrt{N} полюсном магните предположим, что магнитное поле $|\mathcal{H}(r, z)| = \mathcal{H} = H_0 \cdot (z/z_m(z))^{N/2-1}$ во всей апертуре.

Поле вблизи полюса, $z_m(z)$ — расстояние от оси магнита до полюса, ось z направлена по оси магнита,

r — радиус. Магнитный момент атома будем считать равным $\mu = t \mu_0$, μ_0 — магнетон Бора. Уравнение движения для фокусирующихся атомов запишем в виде:

$$r'' + \mu_0 \cdot \left(\frac{\partial \mathcal{H}}{\partial r} - r' \frac{\partial \mathcal{H}}{\partial z} - \frac{m \cdot M}{\mu_0 \cdot r^3} \right) / m \cdot r^2 = 0$$

$$\dot{z}^2 = \left(\frac{2 \cdot (E - \mu_0 \cdot \mathcal{H})}{m} - \frac{M}{r^2} \right) / (1 + r'^2)$$

$$r^4 \dot{\varphi}^2 = M = \text{const}, \quad \frac{\partial \mathcal{H}}{\partial r} = \left(\frac{N}{2} - 1 \right) \cdot \frac{\mathcal{H}}{r},$$

$$\frac{\partial \mathcal{H}}{\partial z} = - \left(\frac{N}{2} - 1 \right) \cdot \frac{\mathcal{H}}{z_m} \cdot \frac{\partial z_m}{\partial z}, \quad r' = \frac{\partial r}{\partial z}$$

m — масса атома, E — полная энергия.

Зависимость апертуры $z_m(z)$ от длины определялась из условия, что атом с наиболее вероятной скоростью, вылетевший с оси магнита на расстоянии 3 см от его входного отверстия фокусируется (при данной длине магнита и величине магнитного поля) на расстоянии 30 см за магнитом и его траектория совпадает с краем полюса. Для этого в уравнениях надо положить $M = 0$ и $z = z_m$.

Затем в этом магните исследовались траектории атомов, вылетающие из источника $\varnothing 1$ мм с распределением по скоростям и определялось распределение плотности на расстоянии 30 см от магнита. Аналогичные расчеты про-деланы для магнита с постоянной апертурой и для дефокусирующихся атомов.

Л и т е р а т у р а :

1. Поляризация нуклонов Труды международной конференции по поляризационным явлениям в ядрах. Базель, 1960 г. Госатомиздат, Москва 1962 г.
2. *Gerlach, Stern O., Ann. d. Phys. 74, 673 (1924)*
3. *J. Antill et al., CERN/SPS/77-71, SPSC/P 88, Geneva, 1977*
4. П.И.Батурин, С.Г.Попов, Д.К.Топорков. ЖТФ, X У1, 637, 1976. П.И.Батурин, Б.А.Лазаренко, Д.М.Николенко, С.Г.Попов, Ю.Г.Украинцев. ПТЭ, 1978, № 4, 38.
5. В.Ф.Дмитриев, С.Г.Попов, Д.К.Топорков. Квадрупольный формфактор дейтона (проект эксперимента в электронном накопителе). Препринт ИЯФ 76-85, Новосибирск, 1976.
6. Ю.А.Плис, Л.М.Сороко. Пучок поляризованных атомов водорода. ОИЯИ, Р9-10312, Дубна, 1976.
7. *M. Bell et al., CERN/PS/04/76-9, Geneva, 1976*
8. *E. J. Murphy, J. H. Brophy, Rev. Sci. Instr. 50, 635 (1979)*
9. Исследования с молекулярными пучками. Сборник Мир, 1969.
10. *H. Wilsch, J. Chem. Phys. 56, 1412 (1972)*
11. Н.Рамзей. Молекулярные пучки М., ИЛ, 1960
12. В.С.Троицкий. ЖЭТФ, 41, 389, 1961
13. *Lemonick A., Pipkin F.M., Hamilton B.R. Rev. Sci. Instr., 26, 1112 (1955)*

Работа поступила - 17 апреля 1980 г.

Ответственный за выпуск - В.А.СИДОРОВ
Подписано к печати 28.04.1980 г. МН 07119
Усл. 0,8 печ.л., 0,7 учетно-изд.л.
Тираж 180 экз. Бесплатно
Заказ № I29.

Отпечатано на ротапринте ИЯФ СО АН СССР